

透過潜堤による波浪変形の解析モデル

Somchai Rojanakamthorn*・磯部雅彦**・渡辺晃***

1. 序論

近年、種々の波浪制御・海岸侵食制御構造物が提案され(宇多ら, 1987a), 実用に供されようとしている。その中には人工リーフや大規模潜堤と呼ばれるものに代表される透過潜堤も含まれる。透過潜堤の波浪制御効果については、実験および現地観測による研究(永井ら, 1975; 田中, 1976; 宇多ら, 1987b; 浜口ら, 1988)が行われているが、限られた条件の下でのものである。また、理論解析では透過性防波堤を取り扱ったものがあり、これらの中には潜堤に適用することが可能であるものもある(たとえば、小島ら, 1988; 中村・森田, 1988)が、実際に計算を行った例はない。また、これらでは構造物周辺の鉛直2次元波浪場を扱うことにより、透過率や反射率を評価することが主目的であり、平面的な波浪場の解析を行うことは数値計算上むずかしい。

本研究においては、緩勾配斜面上に設置された透過性構造物周辺の平面的波浪場の予測を可能とするため、緩勾配の仮定の下に透水層の存在を考慮したモデル方程式を導く。得られる方程式は、2次元の楕円型偏微分方程式であり、透水層内での抵抗によりエネルギー逸散が起こることになる。碎波によるエネルギー逸散も非常に重要な要素であるが、本研究では得られた方程式の適用性の確認を第1に考えているので、ここでは取り扱わない。

得られた方程式を用いて1次元問題の数値計算を行い、造波水路を用いて行った実験結果と比較することにより、方程式の適用性を調べる。

2. 透過潜堤上の波浪変形解析のモデル方程式

緩勾配方程式を導くには、まず水平床上の解を求め、その結果得られる鉛直分布関数を重み関数として斜面上での基礎方程式を鉛直方向に積分する。これと同様な手続きを透水層の存在する場合について行うため、基礎方程式および境界条件を定式化した後、水平透水層に対する解を求め、さらに鉛直方向への重み付き積分を行う。

(1) 透水層内における基礎方程式

透水層内の単位体積部分を考える。透水層内の流速ベクトルを \mathbf{u}_s 、水圧を p_s とすれば、運動方程式は

$$\rho \varepsilon \frac{D\mathbf{u}_s}{Dt} = -V(p_s + \gamma z) - f_M - f_D \quad \dots \dots \dots (1)$$

と表される。ここに、 ρ は水の密度、 ε は空隙率、 γ は水の単位重量、 z は鉛直座標であり、 f_M および f_D はそれぞれ透水層の構成要素から水が受ける質量力および抗力を表す。また $V=(\partial/\partial x, \partial/\partial y, \partial/\partial z)$ は (x, y, z) 方向への微分演算子であり、 D/Dt は実質微分を表す。

式(1)中の質量力 f_M は、質量係数を C_M とすれば、

$$f_M = \rho(1-\varepsilon) C_M \frac{D\mathbf{u}_s}{Dt} \quad \dots \dots \dots (2)$$

と表される(Sollit・Cross, 1972)。

式(1)中の抗力項 f_D は、定常流に対して、層流的および乱流的抵抗の和として次式で表される(Ward, 1972)。

$$f_D = \frac{\varepsilon \rho \nu}{K_p} \mathbf{u}_s + \frac{\varepsilon^2 \rho C_f}{\sqrt{K_p}} |\mathbf{u}_s| \mathbf{u}_s \quad \dots \dots \dots (3)$$

ここに ν は動粘性係数、 K_p は透水係数、 C_f は乱流抵抗係数であり、 K_p および C_f は透水試験によって求められる。非定常浸透流に対して(3)式を用いることの妥当性は、Shuto・Hashimoto(1970)および出口ら(1988)によって確認されている。抗力項を含めて解析的な取り扱いをするため、一周期内のエネルギーを逸散が等しくなるような線形抗力項で近似しておく。すなわち、線形抵抗係数 f_p を次式で定義する。

$$f_D = f_p \rho \sigma \mathbf{u}_s \quad \dots \dots \dots (4)$$

$$f_p = \frac{\int_V \int_0^T \left(\frac{\varepsilon^2 \nu}{K_p} |\mathbf{u}_s|^2 + \frac{\varepsilon^3 C_f}{\sqrt{K_p}} |\mathbf{u}_s|^3 \right) dt dV}{\sigma \int_V \int_0^T \varepsilon |\mathbf{u}_s|^2 dt dV} \quad \dots \dots \dots (5)$$

ここに σ は波の角周波数、 V は体積、 T は周期である。式(2)および(4)を式(1)に代入し、さらに波の振幅が微小であるものとして実質微分における移流項を無視すれば、線形化された運動方程式を得る。

$$C_r \frac{\partial \mathbf{u}_s}{\partial t} = -\frac{1}{\rho} V(p_s + \gamma z) - f_p \sigma \mathbf{u}_s \quad \dots \dots \dots (6)$$

* 工修 東京大学大学院 土木工学専攻
 ** 正会員 工博 東京大学助教授 工学部土木工学科
 *** 正会員 工博 東京大学教授 工学部土木工学科

4. 実験方法

実験は長さ20m、幅0.8m、高さ1mの2次元造波水路を用いて行った。透過潜堤は、平均粒径2.5cmの砂利を用いて1/20勾配の固定床斜面上に設置した。潜堤の法面勾配は1/3であり、潜堤の天端幅は10, 30, および235cmとした。天端水深は2から8cmとし、波の周期と波高を変化させて実験を行った。表-1は実験条件を示す。測定したのは、水位変動の分布である。ここでは、透過潜堤上の緩勾配方程式の適用性を調べることが主目的なので、潜堤上で碎波しないケースのみについて実験値と計算値との比較を行った。

表-1 実験条件

CASE	B (cm)	D _s (cm)	D _∞ (cm)	T (s)	H _t (cm)	f _p
1-1	10	4.5	35.5	0.93	2.25	0.251
1-2	10	4.5	35.5	1.81	2.60	0.979
1-3	10	6.5	37.5	0.93	3.00	0.275
1-4	10	6.5	37.5	0.93	4.71	0.412
1-5	10	6.5	37.5	1.92	3.28	1.002
1-6	10	6.5	37.5	1.82	5.66	1.241
1-7	10	8.5	39.5	0.93	3.52	0.279
1-8	10	8.5	39.5	0.92	6.41	0.441
1-9	10	8.5	39.5	1.81	3.38	0.882
2-1	30	4.5	35.5	0.93	3.13	0.407
2-2	30	6.5	37.5	0.93	4.82	0.491
2-3	30	6.5	37.5	0.93	3.21	0.384
2-4	30	6.5	37.5	1.82	3.66	1.351
2-5	30	8.5	39.5	0.93	3.11	0.323
2-6	30	8.5	39.5	0.93	4.64	0.440
2-7	30	8.5	39.5	0.93	6.23	0.574
2-8	30	8.5	39.5	1.81	3.79	1.220
2-9	30	8.5	39.5	1.82	5.78	1.521
3-1	235	8.0	39.0	1.08	4.72	0.871
3-2	235	8.0	39.0	1.81	4.47	1.640

5. 数値計算結果と実験結果との比較

図-2は、水面変動のrms値 η_{rms} から求めた振幅 $a_m = \sqrt{2}\eta_{\text{rms}}$ の岸沖分布について計算値と実験値とを比較した結果を示す例である。図中 H_t および T は入射波の波高および周期、 D_∞ および D_s は一様水深部および潜堤上の水深である。 x 軸の原点は斜面端にとられており、 x_t および x_c はそれぞれ潜堤の法先および法肩の位置を、 x_{sh} は静水時汀線位置を示す。

これらの図よりまず、示される実験結果について見ると、潜堤を通過すると波高が急激に減少することがわかる。特に潜堤の幅 B が235cmの場合に著しく、エネルギー逸散量が天端幅と密接に関係することが理解される。また、天端水深もエネルギー逸散に関係するが、これは特に碎波を通じて影響するものなので、ここではこれ以上の議論は避け、今後、碎波減衰も含めた取り扱いに拡張した場合の検討課題とする。

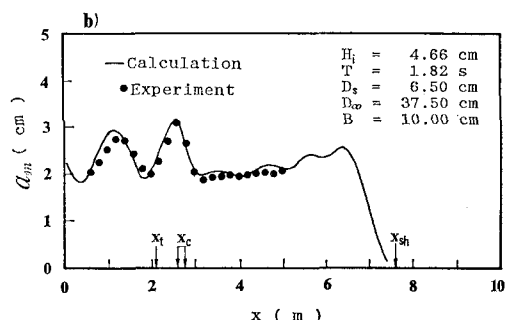
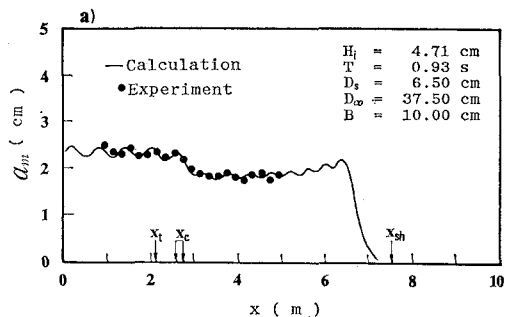


図-2 水面変動の rms 値の分布の計算値と実験値との比較 (1)

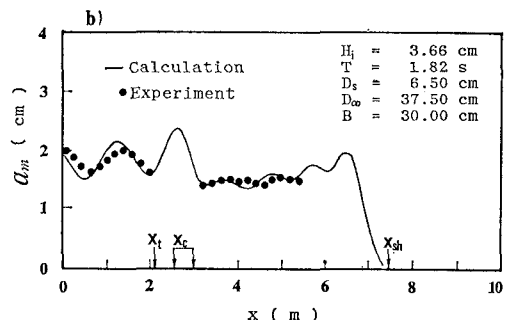
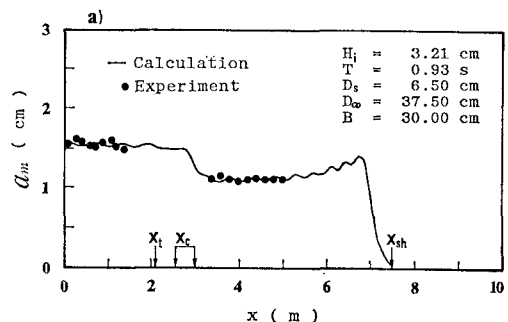


図-3 水面変動の rms 値の分布の計算値と実験値との比較 (2)

数値計算結果を示すのが図中の実線である。計算において、空隙率 ϵ は測定値より0.39とした。質量係数については出口(1988)などの研究があるが、ここでは仮に

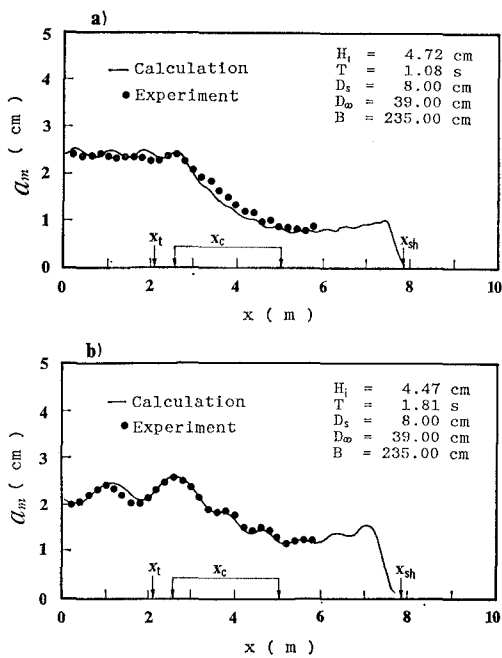


図-4 水面変動の rms 値の分布の計算値と実験値との比較(3)

1とした。また K_p および C_f については、Dinoy(1971)による定常流に対する実験結果を外挿することにより $K_p=3.77 \times 10^{-7} \text{ m}^2$ および $C_f=0.332$ とした。表-1には、繰り返し計算の最終段階で得られた f_p の値も示されている。

実測値と計算値とを比較すると、両者の一致は良好であり、本研究で導いた透過潜堤上での緩勾配方程式の有用性が確認される。

6. 結論および今後の課題

潜堤上における波浪の変形を予測するために、透水層上における緩勾配方程式(39)を導いた。得られた方程式を用いて数値計算を行い、実験結果と比較した。その結果、両者の一致は良好であり、モデル方程式の有用性が確認された。

本研究では、透水層上における緩勾配方程式の特性を調べるために、非碎波の場合に限って検討を進めた。今後、この方程式を実際の問題に適用していくためには、碎波減衰項を取り入れ、碎波を取り扱うことができるよ

うにする必要がある。また、不規則波への適用も今後の課題である。さらには、放物型方程式への近似も可能であり、その適用性についても調べる必要がある。これらにより、透過性構造物を含む海域における、平面的波浪場の精度よい予測を行うことができるであろう。

なお、この研究に対する研究助成を頂いた財団法人鹿島学術振興財団に謝意を表する。

参考文献

- 宇多高明・小俣 順・横山陽久(1987a): 人工リーフ周辺に生じる海浜流と地形変化、第34回海岸工学講演会論文集、pp. 337~341。
 宇多高明・村井頼美・松尾和男・藤原隆一(1987b): 透過性消波構造物の消波効果からみた分類、第34回海岸工学講演会論文集、pp. 441~445。
 小島治幸・宇都宮道明・井島武士・吉田明徳・木原 力(1988): 斜め入射波に対する透過性防波堤の水理特性解析、第35回海岸工学講演会論文集、pp. 542~546。
 田中則男(1976): 天端幅の広い潜堤の波浪減殺および防波安定効果について、第23回海岸工学講演会論文集、pp. 152~157。
 出口一郎・樋木 亨・白谷宏司(1988): 透水層状の波浪変形に対する非線形ダルシー則の適用性について、第35回海岸工学講演会論文集、pp. 487~491。
 永井莊七郎・小田一紀・倉田克彦(1975): 大水深緩斜面潜堤に関する研究、第22回海岸工学講演会論文集、pp. 409~414。
 中村孝幸・森田知志(1987): 斜波中における透過性防波堤の消波効果と作用波力の特性について、第35回海岸工学講演会論文集、pp. 547~551。
 浜口達男・宇多高明・井上 力・五十嵐晃・中山 修(1988): 人工リーフの波浪制御効果に関する現地実験、第35回海岸工学講演会論文集、pp. 128~132。
 Berkhoff, J. C. W. (1972): Computation of combined refraction-diffraction, Proc. 13th Coastal Eng. Conf., ASCE, pp. 471~490.
 Booij, N. (1983): A note on the accuracy of the mild-slope equation, Coastal Eng., Vol. 7, pp. 191~203.
 Dinoy, A. A. (1971): Friction factor and Reynolds number relationship in flow through porous media, Master Thesis, Asian Inst. of Tech., Thailand.
 Madsen, O. S. (1974): Wave transmission through porous structure, J. Waterways, Harbors and Coastal Eng. Division, Proc. ASCE, Vol. 100, pp. 169~188.
 Mei, C. C. (1983): The Applied Dynamics of Ocean Surface Waves, John Wiley & Sons, New York, pp. 86~88.
 Shuto, N. and S. Hashimoto (1970): Hydraulic resistance of artificial concrete blocks, Proc. 12th Coastal Eng. Conf., ASCE, pp. 43~54.
 Sollitt, C. K. and Cross, R. H. (1972): Wave transmission through permeable breakwaters, Proc. 13th Coastal Eng. Conf., ASCE, pp. 1827~1846.
 Ward, J. C. (1964): Turbulent flow in porous media, J. Hydraulics Div., ASCE, Vol. 90, No. HY5, pp. 1~12.